

Nonclassical properties of quantum binomial state in inertial and accelerated motion

Seyedeh Robabeh Miry*, Fatemeh Ahmadi

Department of Engineering Sciences and Physics, Buein Zahra Technical University, Buein Zahra, Qazvin, Iran

Received: 22.08.2022 Final revised: 16.05.2023 Accepted: 10.07.2023

Doi: [10.22055/jrmb.2023.18417](https://doi.org/10.22055/jrmb.2023.18417)

Abstract

In this article, we considered the effect of uniform acceleration on the quantum binomial state, which consists of a superposition of single-mode Fock states with binomial coefficients. In particular, we studied the nonclassical features of the quantum binomial state under Unruh effect. We obtained analytically various witnesses of nonclassicality such as squeezing, Mandel parameter, and Vogel's criterion. We found that squeezing could be increased or decreased by the Unruh effect for different observers. In addition, with the increase of the number of single-mode Fock states in the quantum binomial state, the squeezing increases. Moreover, we found the Mandel parameter and Vogel's criterion which is a sufficient condition for the nonclassicality of the state and compared the results with the inertial observer.

Keywords: Quantum binomial state, Unruh effect, Squeezing, Mandel parameter, Vogel's criterion.

* Corresponding Author: zahramiry@bzte.ac.ir

ویژگی‌های غیر کلاسیکی حالت کوآنتومی دوجمله‌ای در حرکت لخت و شتابدار

سیده ربابه میری*، فاطمه احمدی

گروه علوم مهندسی و فیزیک، مرکز آموزش عالی فنی و مهندسی بوئین زهرا، بوئین زهرا، قزوین، ایران

دریافت: ۱۴۰۱/۰۵/۳۱ ویرایش نهایی: ۱۴۰۲/۰۲/۲۶ پذیرش: ۱۴۰۲/۰۲/۱۹

Doi: [10.22055/jrmbms.2023.18417](https://doi.org/10.22055/jrmbms.2023.18417)

چکیده

در این مقاله ویژگی‌های غیر کلاسیکی حالت کوآنتومی دوجمله‌ای در سامانه‌ای با حرکت شتابدار مورد بررسی قرار گرفته است. حالت کوآنتومی دوجمله‌ای برهم‌نهی از حالت‌های عددی با ضرایب بسط دوجمله‌ای است و در چارچوب لخت دارای ویژگی‌های غیر کلاسیکی است. در حرکت شتابدار، طبق اثر اونرا، حالت خلأ ناظر شتابدار با ناظر لخت یکسان نیست. برای بررسی اثر اونرا بر ویژگی‌های غیر کلاسیکی حالت کوآنتومی دوجمله‌ای، چلانندی، پارامتر مندل و سنجه فوگل از دید ناظر لخت و شتابدار بررسی شده است. نتایج نشان می‌دهد که با افزایش شتاب، چلانندی با توجه به شرایط می‌تواند افزایش یا کاهش یابد. افزون بر این نشان داده شده است که در حالت سکون یا شتابدار، با افزایش تعداد جملات بسط حالت کوآنتومی دوجمله‌ای، بر عمق و گستره چلانندی افزوده می‌گردد. به همین ترتیب پارامتر مندل و سنجه فوگل نیز برای حرکت شتابدار محاسبه شده است و نتایج با حالت غیر شتابدار مقایسه شده است.

کلیدواژگان: حالت کوآنتومی دوجمله‌ای، اثر اونرا، چلانندی، پارامتر مندل، سنجه فوگل

مقدمه

و انتقال اطلاعات کوآنتومی در سامانه‌های با مقیاس‌های بزرگ و در حال حرکت، انجام تحقیق و مطالعه در این زمینه بسیار ضروری است. کارهای انجام شده در حوزه نظریه اطلاع‌رسانی کوآنتومی نسبتی را بر اساس حالت‌های مورد بررسی می‌توان به سه دسته عمده تقسیم کرد: حالت‌های گسسته مانند حالت‌های درهم‌تنیده بل [۸] که مطالعات بسیاری روی آنها انجام شده است [۹،۱۰]. حالت‌هایی که ترکیبی از متغیرهای پیوسته و گسسته هستند مانند حالت هیبریدی [۱۱-۱۳] و حالت‌های متغیر پیوسته مانند حالت چلانده یا حالت کوآنتومی دوجمله‌ای

نظریه اطلاعات کوآنتومی به مسائلی می‌پردازد که در آنها اطلاعات در سامانه‌های کوآنتومی ذخیره، منتقل و پردازش می‌شوند. بخش مهمی از مطالعات اخیر به اثرات کوآنتومی در مقیاس‌های بزرگ پرداخته است و به نظر می‌رسد در آینده‌ای نزدیک این سامانه‌ها قابل دسترس باشند [۱،۲]. تحقیقاتی که همبستگی‌های کوآنتومی را در چارچوب‌های در حال حرکت و در فضا-زمان خمیده مطالعه می‌کند، نشان می‌دهد که نتایج حاصل، به حرکت ناظرها و میدان گرانشی بستگی دارد [۳-۷]. از این رو با توجه به اهمیت روزافزون پردازش

* نویسنده مسئول: zahramiry@bzte.ac.ir



بودن یک حالت کوآنتومی را در اختیار ما قرار می‌دهد [۲۴].

در این تحقیق برای بررسی تأثیر حرکت سامانه بر ویژگی‌های غیرکلاسیکی حالت‌های کوآنتومی، حالت کوآنتومی دوجمله‌ای^۲ را در نظر گرفته‌ایم که به وسیله استولر و همکاران در سال ۱۹۸۵ معرفی شده است [۲۵]. حالت کوآنتومی دوجمله‌ای از برهم‌نهی حالت‌های عددی با ابعاد حاصل شده است. این حالت، حالتی میانی بین حالت عددی (کاملاً غیرکلاسیکی) و حالت همدوس (مرز بین کوآنتوم و کلاسیک) محسوب می‌شود. یکی از جنبه‌های اهمیت این حالت بدین سبب است که در فرایندهای کوآنتومی، برهم‌نهی‌ها نقش ویژه‌ای دارند؛ زیرا رفتارهای کوآنتومی متفاوتی از اجزاء سازنده خود بروز می‌دهند. علاوه بر این، وجه دیگر اهمیت حالت‌های کوآنتومی دوجمله‌ای به این مسئله برمی‌گردد که در شرایط حدی مختلف، قابل تبدیل به حالت خلاء، حالت عددی و حالت همدوس هستند. با توجه به این نقاط قوت، حالت‌های کوآنتومی دوجمله‌ای به شکل‌های مختلف تعمیم داده شده و ویژگی‌های آن بررسی شده است [۲۶-۲۸]. یکی از زمینه‌های کاربردی حالت‌های کوآنتومی دوجمله‌ای در حوزه محاسبات کوآنتومی است [۲۹].

در این مقاله، قصد داریم ویژگی‌های غیرکلاسیکی حالت کوآنتومی دوجمله‌ای را از دید ناظر لخت و شتابدار بررسی کنیم و با مقایسه آنها، تأثیر اثر اونرا را که ناشی از حرکت شتابدار است بر ویژگی غیرکلاسیکی حالت دوجمله‌ای ارزیابی کنیم.

ساختار مقاله در ادامه به این شرح است:

در بخش ۲ میدان را از دید ناظر شتابدار بررسی و مختصات ریندلر را که مختصات مناسبی برای بررسی حرکت شتابدار است، به اختصار معرفی می‌کنیم. در

[۱۴، ۱۵]، که به دو مورد اخیر کمتر توجه شده است. در این مقاله به گروه سوم یعنی حالت‌های با متغیر پیوسته می‌پردازیم و ویژگی‌های حالت کوآنتومی دوجمله‌ای را در شرایط حرکت شتابدار مطالعه می‌کنیم. حالت‌های کوآنتومی به سبب ویژگی‌های ممتاز و منحصر به فرد خود نقشی تعیین کننده دارند. یکی از اساسی‌ترین و کاربردی‌ترین ویژگی حالت‌های کوآنتومی درهم‌تنیدگی است. همان‌طور که پیشتر اشاره شد، تغییرات درهم‌تنیدگی از دید ناظر متحرک، به‌طور گسترده در مقالات مورد بررسی قرار گرفته است، اما به سایر ویژگی‌های غیرکلاسیکی از این دیدگاه کمتر پرداخته شده است. از جمله این ویژگی‌ها می‌توان به چلانندگی اشاره کرد [۱۶-۱۸]. چلانندگی یک حالت کوآنتومی کاربردهای وسیعی دارد که به‌عنوان نمونه می‌توان به اندازه‌گیری‌های دقیق و به‌طور خاص آشکارسازی امواج ضعیف گرانشی اشاره کرد [۱۹]. افزون بر این، حالت‌های چلاننده در انتقال اطلاعات کوآنتومی [۲۰] و طیف‌سنجی [۲۱] مورد استفاده قرار گرفته است. ویژگی دیگری که غیرکلاسیکی بودن یک سیستم را معین می‌کند پارامتر مندل است [۲۲، ۲۳]. مقدار منفی این پارامتر نشان می‌دهد که آمار فوتون‌ها زیرپواسونی است که معادل کلاسیکی برای آن وجود ندارد. در چنین شرایطی توزیع فضای فاز را نمی‌توان با توزیع احتمال کلاسیکی توصیف کرد.

این نکته قابل توجه است که ویژگی‌هایی مانند چلانندگی و آمار زیرپواسونی شرط کافی برای غیرکلاسیکی بودن یک حالت کوآنتومی نیستند. معیارها و سنجه‌های مختلفی برای اطمینان از غیرکلاسیکی بودن حالت‌های کوآنتومی مورد استفاده قرار می‌گیرند. در این بین، سنجه فوگل^۱ شرط کافی برای غیرکلاسیکی

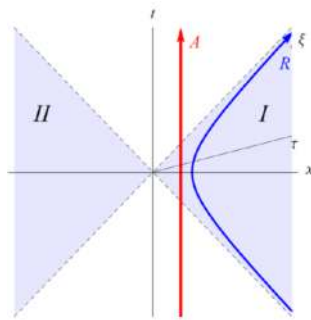
² Quantum binomial state

¹ Vogel's criterion

حال فرض کنید ناظری با شتاب یکنواخت شروع به حرکت می‌کند. برای توصیف ناظر شتابدار بهتر است از مختصات ریندلر (τ, ξ) استفاده کنیم. رابطه مختصات ریندلر و مختصات مینکوفسکی (t, x) به صورت زیر است [۳۱]

$$\begin{aligned} x &= \frac{e^{a\tau}}{a} \cosh(a\xi) \\ t &= \frac{e^{a\tau}}{a} \sinh(a\xi) \end{aligned} \quad ۳$$

به طوری که $x^2 - t^2 = \frac{e^{2a\tau}}{a^2}$ و a شتاب است که بدون از دست دادن کلیت مسئله فرض می‌کنیم در راستای محور x باشد. وقتی $\tau \rightarrow -\infty$ ، $x^2 = t^2$ به طوری که متناظر با خطوط با زاویه ۴۵ درجه است و افق ریندلر را مشخص می‌کند. همان‌طور که در شکل ۱ ملاحظه می‌شود، کل فضا به چهار ناحیه تقسیم می‌شود که دو ناحیه با I و II نام‌گذاری شده است. این دو ناحیه به طور علی با یکدیگر رابطه‌ای ندارند و ناظر شتابدار فقط می‌تواند در ناحیه I یا II حضور داشته باشد



شکل ۱. مسیر ناظرهای لخت و شتابدار به ترتیب با رنگ قرمز و آبی مشخص شده است. (t, x) مختصات مینکوفسکی و (τ, ξ) مختصات ریندلر را نشان می‌دهد. خطوط $x=t$ بیانگر افق ریندلر است که نواحی I و II را از هم جدا می‌کند.

تبدیلات ۳ در ناحیه I برقرار است. ناحیه II با تبدیلات زیر تعریف می‌شود و فقط در یک علامت منفی با روابط ۳ متفاوت است:

بخش ۳ به حالت کوآنتومی دوجمله‌ای می‌پردازیم. در بخش ۴ و ۵ به ترتیب چلانگی و پارامتر مندل را از دید ناظر شتابدار مورد بررسی قرار می‌دهیم. در بخش ۶ نتایج حاصل از سنجه فوگل را بیان می‌کنیم. در نهایت، در بخش ۷ به بحث و نتیجه‌گیری می‌پردازیم.

چارچوب مرجع شتابدار

در فضا-زمان تخت دو نوع ناظر را می‌توان در نظر گرفت، ناظر لخت که مسیر آن متناظر با خط مستقیم است و ناظری که با شتاب یکنواخت و در یک مسیر هذلولی حرکت می‌کند. تعداد ذراتی که از دید این دو ناظر برای یک میدان مشاهده می‌شود با یکدیگر متفاوت است. به عبارت دیگر حالت خلاء از دید ناظر شتابدار با ناظر لخت یکسان نیست. مختصات مینکوفسکی (t, x) انتخاب مناسبی برای ناظر لخت است. معادله کلاین-گوردون در این مختصات به صورت $(\partial_t^2 - \partial_x^2)\phi = 0$ بیان می‌شود که پاسخ آن امواج تخت به شکل زیر است [۳۰]:

$$\begin{aligned} u_k &= \frac{1}{\sqrt{2\pi\omega}} e^{i(kx - \omega t)} \\ u_k^* &= \frac{1}{\sqrt{2\pi\omega}} e^{-i(kx - \omega t)} \end{aligned} \quad ۱$$

که $\omega = |k|$ و $-\infty < k < \infty$. پاسخ با بسامد مثبت و u_k^* پاسخ با بسامد منفی است. این پاسخ‌ها یک مجموعه کامل از توابع متعامد را در فضا-زمان مینکوفسکی تشکیل می‌دهند. بنابراین می‌توان میدان ϕ را برحسب آنها بسط داد:

$$\phi = \int (u_k \hat{a}_k + u_k^* \hat{a}_k^\dagger) dk \quad ۲$$

به طوری که عملگرهای خلق و فنا، \hat{a}_k^\dagger و \hat{a}_k در رابطه جابه‌جایی $[\hat{a}_k, \hat{a}_{k'}^\dagger] = \delta_{k,k'}$ صدق می‌کنند. حالت خلاء نیز با رابطه $\hat{a}_k |0\rangle_k = 0$ تعریف می‌شود.

به دست می‌آوریم. با محاسبه $\langle \hat{N} \rangle$ ، میانگین چگالی ذرات ناظر شتابدار از دید ناظر لخت به صورت

$$\langle \hat{N} \rangle = \frac{1}{\exp\left(\frac{2\pi E}{a}\right) - 1}$$

است. با مقایسه این رابطه با توزیع بوز-اینشتین،

$$n(E) = \frac{1}{\exp\left(\frac{E}{T}\right) - 1}$$

دمای اونرا برحسب شتاب با رابطه $T \equiv \frac{a}{2\pi}$ تعریف می‌شود. بنابراین، تأثیر شتاب را می‌توان به این صورت توصیف کرد که از دید ناظر لخت، سامانه‌ای که با شتاب ثابت حرکت می‌کند به نظر می‌رسد در یک حمام گرمایی با دمای T قرار دارد. این اثر به اثر اونرا معروف است.

در بخش‌های آینده با معرفی حالت کوآنتومی دوجمله‌ای که حالتی غیرکلاسیکی است، تأثیر شتاب حرکت را بر ویژگی‌های آن بررسی می‌کنیم. به عبارت دیگر، به این مهم می‌پردازیم که غیرکلاسیکی بودن این حالت به ناظر بستگی دارد یا خیر.

حالت کوآنتومی دوجمله‌ای

حالت کوآنتومی دوجمله‌ای برهنه‌ای از کت‌های حالت عددی است و حالتی کوآنتومی بین حالت عددی و حالت همدوس محسوب می‌شود. ضرایب بسط حالت دوجمله‌ای با رابطه زیر بیان می‌شوند [۱۵]:

$$|\eta, N\rangle = \sum_{n=0}^N \sqrt{\binom{N}{n} \eta^n (1-\eta)^{N-n}} e^{i\phi} |n\rangle \quad ۸$$

همان‌طور که از رابطه ۸ ملاحظه می‌شود در حالت حدی $\eta \rightarrow 0, N \rightarrow 0$ ، حالت کوآنتومی دوجمله‌ای بیانگر حالت خلاء $|0\rangle$ است. اگر N متناهی باشد و $\eta \rightarrow 1$ ، حالت عددی $|n\rangle$ را خواهیم داشت. در صورتی که $\eta N = \alpha^2$ $\eta \rightarrow 0, N \rightarrow \infty$ به طوری که داشته باشیم

$$x = \frac{-e^{a\tau}}{a} \cosh(a\xi) \quad ۴$$

$$t = \frac{-e^{a\tau}}{a} \sinh(a\xi)$$

میدان در مختصات ریندلر با رابطه زیر بیان می‌شود:

$$\phi = \int (u_k^I \hat{b}_k^I + u_k^{II} \hat{b}_k^{II} + h.c.) dk$$

به طوری که u_k^I و u_k^{II} پاسخ معادله کلین-گوردون در ناحیه I و II هستند. عملگرهای \hat{b}_k^I و \hat{b}_k^{II} عملگرهای فنا هستند که حالت خلاء را در نواحی I و II تعریف می‌کنند به طوری که $\hat{b}_k^I |0\rangle_I = 0$ و $\hat{b}_k^{II} |0\rangle_{II} = 0$. در این حالت، حالت خلاء برحسب پایه‌های ریندلر عبارت است از $|0\rangle = |0\rangle_I \otimes |0\rangle_{II}$. اگرچه عملگرهای \hat{b}_k^I ، \hat{b}_k^{II} و $\hat{b}_k^{\dagger I}$ ، $\hat{b}_k^{\dagger II}$ در روابط جابه‌جایی مانند \hat{a}_k و \hat{a}_k^\dagger صدق می‌کنند ولی با آنها متفاوتند. ارتباط این عملگرها به صورت زیر قابل بیان است [۳۲]:

$$\begin{aligned} \hat{a}_k &= \cosh r \hat{b}_k^I - \sinh r \hat{b}_k^{II} \\ \hat{a}_k^\dagger &= \cosh r \hat{b}_k^{\dagger I} - \sinh r \hat{b}_k^{\dagger II} \end{aligned} \quad ۶$$

با کمک روابط بالا، حالت خلاء مینکوفسکی برحسب پایه‌های ریندلر، یعنی $|n_k\rangle_I$ و $|n_k\rangle_{II}$ به شکل زیر به دست می‌آید [۳۱]:

$$|0_k\rangle = \frac{1}{\cosh r} \sum_n \tanh^n r |n_k\rangle_I |n_k\rangle_{II} \quad ۷$$

که در آن $\tanh r = e^{-\frac{2\pi\omega}{a}}$ و $|n_k\rangle_I$ و $|n_k\rangle_{II}$ پایه‌های ریندلر در نواحی I و II هستند. با توجه به اینکه دو ناحیه I و II به صورت علی با یکدیگر رابطه ندارند، برای بررسی سامانه از دید ناظر شتابدار در ناحیه I، لازم است روی حالت‌های ناحیه II رد^۱ بگیریم.

برای روشن شدن اثر اونرا، میانگین چگالی ذرات را در پایه‌های خلاء مینکوفسکی، $\langle \hat{N} \rangle = \langle 0 | \hat{b}_k^\dagger \hat{b}_k | 0 \rangle$

^۱ Trace

برای بررسی چلانگی حالت کوآنتومی دوجمله‌ای در شرایط سکون و حرکت شتابدار، عملگرهای مکان و تکانه را با روابط زیر در نظر می‌گیریم:

$$\hat{X} = \frac{\hat{a} + \hat{a}^\dagger}{2}, \quad \hat{Y} = \frac{\hat{a} - \hat{a}^\dagger}{2i} \quad 11$$

که در رابطه جابه‌جایی زیر صدق می‌کنند:

$$[\hat{X}, \hat{Y}] = \frac{i}{2} \quad 12$$

پارامترهای S_X و S_Y را با تعریف‌های زیر در نظر می‌گیریم:

$$S_X = \frac{(\langle \hat{X}^2 \rangle - \langle \hat{X} \rangle^2) - 1/4}{1/4},$$

$$S_Y = \frac{(\langle \hat{Y}^2 \rangle - \langle \hat{Y} \rangle^2) - 1/4}{1/4} \quad 13$$

در شرایطی که داشته باشیم $-1 \leq S_{X(Y)} \leq 0$ ، نشانگر این است که در اندازه‌گیری کمیت‌های مکان یا تکانه چلانگی وجود دارد.

در این قسمت می‌خواهیم تأثیر حرکت سامانه را بر میزان چلانگی حالت کوآنتومی دوجمله‌ای مورد بررسی قرار دهیم. برای دستیابی به این هدف، ابتدا سامانه را در حالت سکون در نظر می‌گیریم و پارامترهای S_X و S_Y را برای حالت‌های $|\eta, 1\rangle$ و $|\eta, 2\rangle$ محاسبه و رسم می‌کنیم. پس از آن، سامانه را در شرایط حرکت شتابدار مطالعه خواهیم کرد.

نتایج محاسبات برای حالت دوجمله‌ای $|\eta, 1\rangle$ در روابط زیر بیان شده است:

$$\langle \hat{X} \rangle = \sqrt{\eta(1-\eta)} \cos \phi,$$

$$\langle \hat{X}^2 \rangle = \frac{1}{4}(1+2\eta) \quad 14$$

$$\langle \hat{Y} \rangle = \sqrt{\eta(1-\eta)} \sin \phi,$$

که در آن α مقدار ثابتی است، حالت همدوس $|\alpha\rangle$ با ضرایب حقیقی را خواهیم داشت. حالت‌های دوجمله‌ای به‌ازای $N=1$ و $N=2$ با روابط زیر بیان می‌شوند:

$$|\eta, 1\rangle = \sqrt{1-\eta}|0\rangle + \sqrt{\eta} e^{i\phi}|1\rangle \quad 9$$

$$|\eta, 2\rangle = (1-\eta)|0\rangle + \sqrt{2\eta(1-\eta)} e^{i\phi}|1\rangle + \eta e^{2i\phi}|2\rangle \quad 10$$

در قسمت‌های بعدی ویژگی‌های غیرکلاسیکی حالت کوآنتومی دوجمله‌ای را از دید ناظر شتابدار مورد بررسی قرار می‌دهیم.

چلانگی حالت کوآنتومی دوجمله‌ای در

چارچوب‌های لخت و شتابدار

در فیزیک کلاسیک در اندازه‌گیری همزمان کمیت‌های فیزیکی عدم قطعیتی وجود ندارد، اما از ویژگی‌های بارز فیزیک کوآنتومی وجود عدم قطعیت در اندازه‌گیری همزمان برخی از کمیت‌ها از جمله مکان و تکانه است. در این بین، حالت همدوس که به‌عنوان مرز بین کوآنتوم و کلاسیک شناخته می‌شود، دارای کمترین میزان عدم قطعیت است.

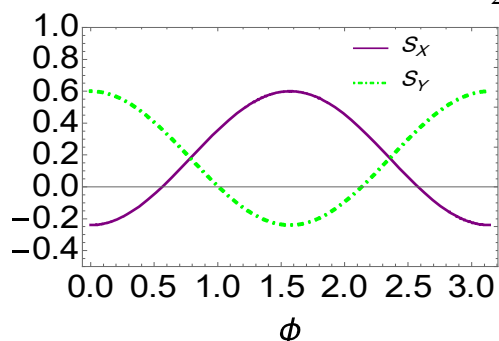
چنانچه اندازه‌گیری یکی از کمیت‌های مکان و تکانه منجر به مقداری کمتر از عدم قطعیت کمینه شود، می‌گوییم چلانگی روی داده است و حالت کوآنتومی مورد نظر را حالت چلانده می‌نامیم. البته قابل توجه است که اگر مقدار اندازه‌گیری شده یک مؤلفه کمتر از میزان پیش‌بینی شده اصل عدم قطعیت شود، میزان اندازه‌گیری مؤلفه دیگر قطعاً افزایش خواهد یافت.

شکل ۳. منحنی تغییرات S_Y برحسب η برای حالت کوآنتومی

دوجمله‌ای $|\eta, 1\rangle$ منحنی توپر (بنفش) به‌ازای $\phi = \frac{\pi}{8}$ ، منحنی خط-

نقطه (سبز) به‌ازای $\phi = \frac{\pi}{4}$ ، منحنی خطچین (قرمز) به‌ازای

$\phi = \frac{\pi}{2}$ ، منحنی نقطه‌چین (سیاه) به‌ازای $\phi = \pi$ رسم شده است.



شکل ۴. منحنی تغییرات S_X و S_Y برحسب ϕ ، به‌ازای $\eta = 0.3$ برای حالت کوآنتومی دوجمله‌ای $|\eta, 1\rangle$. منحنی توپر (بنفش) S_X و منحنی خط-نقطه (سبز) S_Y است.

چنانچه پارامترهای S_X و S_Y را به‌ازای یک η معین و مقادیر مختلف فاز مورد بررسی قرار دهیم درمی‌یابیم که چلانگی مؤلفه‌های X و Y در زوایای متفاوتی روی می‌دهد و این نواحی با یکدیگر همپوشانی ندارند که با توجه به‌اصل عدم قطعیت این نتیجه مورد انتظار است (شکل ۴).

برای بررسی تأثیر تعداد جملات بسط حالت دوجمله‌ای بر میزان چلانگی، اندازه‌گیری‌های حاصل از حالت $|\eta, 2\rangle$ را با نتایج قبلی مقایسه می‌کنیم. در این راستا کمیت‌های زیر از محاسبات به‌دست می‌آیند:

۱۶

$$\langle \hat{X} \rangle = \sqrt{\eta(1-\eta)} \cos \phi \left[\sqrt{2(1-\eta)} + 2\eta \right],$$

$$\langle \hat{X}^2 \rangle = \frac{1}{4} (1 + 4\eta - 2\eta^2 + 2\sqrt{2}\eta(1-\eta) \cos 2\phi)$$

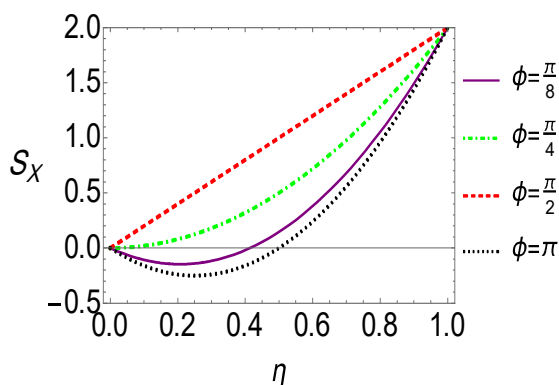
۱۷

$$\langle \hat{Y} \rangle = \sqrt{\eta(1-\eta)} \sin \phi \left[\sqrt{2(1-\eta)} + 2\eta \right],$$

$$\langle \hat{Y}^2 \rangle = \frac{1}{4} (1 + 4\eta - 2\eta^2 - 2\sqrt{2}\eta(1-\eta) \cos 2\phi)$$

$$\langle \hat{Y}^2 \rangle = \frac{1}{4} (1 + 2\eta) \quad ۱۵$$

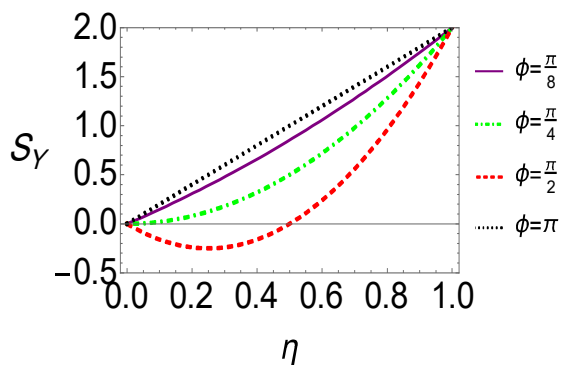
با بهره‌گیری از روابط به‌دست آمده، نحوه رفتار S_X و S_Y را مورد مطالعه قرار می‌دهیم. در شکل ۲، تابع S_X برحسب η و به‌ازای مقادیر مختلف ϕ رسم شده است. همان‌طور که از شکل پیداست، حالت کوآنتومی دوجمله‌ای $|\eta, 1\rangle$ به‌ازای برخی از مقادیر ϕ حالتی چلانده است. در شکل ۳ رفتار تابع S_Y برحسب η و به‌ازای مقادیر مختلف ϕ نشان داده شده است. با توجه به‌نمودار، به‌ازای برخی از مقادیر ϕ ، حالت کوآنتومی دوجمله‌ای $|\eta, 1\rangle$ در اندازه‌گیری عملگر تکانه نیز از خود چلانگی نشان می‌دهد.



شکل ۲. منحنی تغییرات S_X برحسب η برای حالت کوآنتومی دوجمله‌ای $|\eta, 1\rangle$. منحنی توپر (بنفش) به‌ازای $\phi = \frac{\pi}{8}$ ، منحنی

خط-نقطه (سبز) به‌ازای $\phi = \frac{\pi}{4}$ ، منحنی خطچین (قرمز) به‌ازای

$\phi = \frac{\pi}{2}$ ، منحنی نقطه‌چین (سیاه) به‌ازای $\phi = \pi$ رسم شده است.

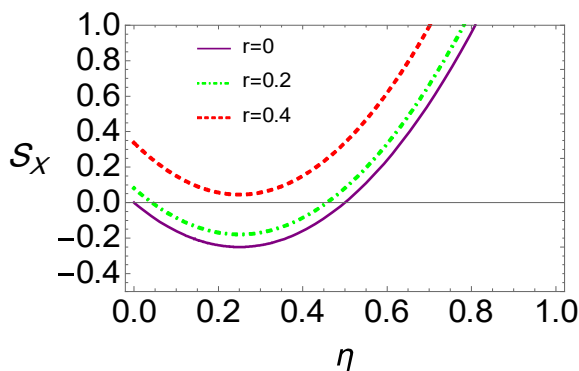


اندازه‌گیری ویژگی‌های سامانه از دید این ناظر، ماتریس چگالی کاهش یافته محیط I را به دست می‌آوریم:

$$\begin{aligned} \rho_I = \text{Tr}_{II}(\rho) &= \frac{1-\eta}{\cosh^2 r} \sum_{n=0}^{\infty} \tanh^{2n} r |n\rangle\langle n| \\ &+ \frac{\sqrt{\eta(1-\eta)} e^{-i\phi}}{\cosh^3 r} \sum_{n=0}^{\infty} \tanh^{2n} r \sqrt{n+1} |n\rangle\langle n+1| \\ &+ \frac{\sqrt{\eta(1-\eta)} e^{i\phi}}{\cosh^3 r} \sum_{n=0}^{\infty} \tanh^{2n} r \sqrt{n+1} |n+1\rangle\langle n| \\ &+ \frac{\eta}{\cosh^4 r} \sum_{n=0}^{\infty} \tanh^{2n} r (n+1) |n+1\rangle\langle n+1| \end{aligned} \quad 20$$

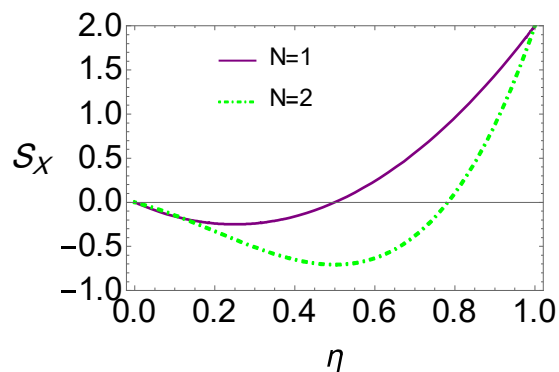
با بهره‌گیری از ماتریس چگالی کاهش‌یافته، مقدار چشمداشتی عملگرها به صورت $\langle \hat{O} \rangle = \text{Tr}(\rho_I \hat{O})$ قابل محاسبه است. در نهایت، از دید ناظر I روابط زیر حاصل می‌شوند:

$$\begin{aligned} \langle \hat{X} \rangle_r &= \sqrt{\eta(1-\eta)} \cos \phi \cosh r, \\ \langle X^2 \rangle_r &= \frac{1}{4} [1 + 2(1-\eta)(\cosh^2 r - 1) \\ &+ 2\eta(2 \cosh^2 r - 1)] \end{aligned} \quad 21$$



شکل ۶. منحنی تغییرات S_X برحسب η ، به‌ازای $\phi = \pi$ و مقادیر مختلف r برای حالت کوآنتومی دوجمله‌ای $|\eta, 1\rangle$ در حرکت شتابدار در ناحیه I. منحنی توپر (بنفش) به‌ازای $r = 0$ ، منحنی خط-نقطه (سبز) به‌ازای $r = 0.2$ ، منحنی خط‌چین (قرمز) به‌ازای $r = 0.4$ رسم شده است.

در شکل ۵ پارامتر S_X مربوط به حالت $|\eta, 2\rangle$ ($N=2$) برحسب η و مقدار $\phi = \pi$ رسم شده است. نمودار مربوط به حالت $|\eta, 1\rangle$ ($N=1$) نیز برای مقایسه رسم شده است. همان‌طور که در شکل واضح است با افزایش تعداد جملات در بسط حالت کوآنتومی دوجمله‌ای، گستردگی ناحیه چلانده و عمق چلانندگی افزایش می‌یابد.



شکل ۵. منحنی تغییرات S_X برحسب η ، به‌ازای $\phi = \pi$ برای حالت‌های کوآنتومی دوجمله‌ای $|\eta, 1\rangle$ ($N=1$) (منحنی توپر بنفش) و $|\eta, 2\rangle$ ($N=2$) (منحنی خط-نقطه سبز).

اکنون فرض می‌کنیم سامانه در شرایط حرکت شتابدار قرار می‌گیرد. در ابتدا حالت کوآنتومی دوجمله‌ای $|\eta, 1\rangle$ را در نظر می‌گیریم. با بهره‌گیری از روابط ۶ و ۷، این حالت را در شرایط حرکت شتابدار به صورت زیر بازنویسی می‌کنیم:

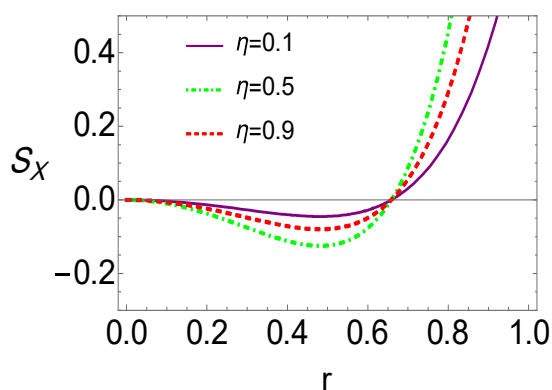
$$\begin{aligned} |\eta, 1\rangle_r &= \hat{a}^\dagger |0\rangle = \frac{\sqrt{1-\eta}}{\cosh r} \sum_{n=0}^{\infty} \tanh^n r |n, n\rangle \\ &+ \frac{\sqrt{\eta} e^{i\phi}}{\cosh^2 r} \sum_{n=0}^{\infty} \tanh^n r \sqrt{n+1} |n+1, n\rangle \end{aligned} \quad 18$$

که در آن از رابطه زیر نیز استفاده شده است:

$$\begin{aligned} |1\rangle &= \hat{a}^\dagger |0\rangle = \\ &= \frac{1}{\cosh^2 r} \sum_{n=0}^{\infty} \tanh^n r \sqrt{n+1} |n+1, n\rangle \end{aligned} \quad 19$$

قصد داریم شرایط سامانه را از دید ناظری که در ناحیه I حضور دارد، مورد بررسی قرار دهیم. برای

آنچه در شکل، در خور توجه است افزایش میزان چلانندگی با افزایش پارامتر r است. در واقع ناظر ناحیه II نتیجه‌ای متفاوت از ناظر ناحیه I درک می‌کند. البته همان‌طور که از شکل پیداست به‌ازای مقادیر بزرگ r اثرات چلانندگی از بین می‌رود.



شکل ۷. منحنی تغییرات S_x برحسب r ، به‌ازای $\phi = \pi$ و مقادیر مختلف η برای حالت کوآنتومی دوجمله‌ای $|\eta, 1\rangle$ از دید ناظر شتابدار در ناحیه II. منحنی توپر (بنفش) به‌ازای $\eta=0.1$ ، منحنی خط-نقطه (سبز) به‌ازای $\eta=0.5$ ، منحنی خط‌چین (قرمز) به‌ازای $\eta=0.9$ رسم شده است.

از دیگر سو، همان‌طور که در شکل ۵ نشان داده شد، حالت دوجمله‌ای با N بزرگتر دارای ناحیه چلاننده گسترده‌تر و با عمق بیشتر است. حال برای مقایسه چلانندگی حالت‌های دوجمله‌ای با N های متفاوت در شرایط حرکت شتابدار، ابتدا حالت $|\eta, 2\rangle_r$ را در سامانه شتابدار محاسبه می‌کنیم که به‌شکل زیر به‌دست می‌آید:

$$|\eta, 2\rangle_r = \frac{1-\eta}{\cosh r} \sum_{n=0}^{\infty} \tanh^n r |n, n\rangle + \frac{\sqrt{2\eta(1-\eta)} e^{i\phi}}{\cosh^2 r} \sum_{n=0}^{\infty} \tanh^n r \sqrt{n+1} |n+1, n\rangle + \frac{\eta e^{2i\phi}}{\sqrt{2} \cosh^3 r} \sum_{n=0}^{\infty} \tanh^n r \sqrt{n+1} \sqrt{n+2} |n+2, n\rangle$$

۲۴

در شکل ۶ پارامتر S_x برحسب η و مقادیر مختلف r رسم شده است. حالت سکون سامانه که با $r=0$ مشخص شده است، برای مقایسه رسم شده است. همان‌طور که شکل نشان می‌دهد، با افزایش پارامتر r از میزان گستردگی ناحیه چلاننده و عمق آن کاسته می‌شود. از این رو حرکت شتابدار اثر مخرب بر روی چلانندگی حالت کوآنتومی دارد. با این وجود، حالت $|\eta, 1\rangle$ تا مقادیر $r=0.3$ همچنان حالتی چلاننده باقی می‌ماند و به‌ازای مقادیر بزرگتر از $r=0.35$ ویژگی چلانندگی را به‌طور کامل از دست می‌دهد.

چنانچه از دید ناظر ناحیه II، سامانه را مورد بررسی قرار دهیم به‌نتیجه‌ای قابل توجه دست می‌یابیم. برای بررسی سامانه از دید ناظر ناحیه II ابتدا لازم است ماتریس چگالی کاهش‌یافته آن را به‌دست آوریم که در رابطه زیر آمده است:

$$\rho_{II} = \text{Tr}_I(\rho) = \frac{1-\eta}{\cosh^2 r} \sum_{n=0}^{\infty} \tanh^{2n} r |n\rangle \langle n| + \frac{\eta}{\cosh^4 r} \sum_{n=0}^{\infty} \tanh^{2n} r (n+1) |n\rangle \langle n| + \frac{\sqrt{\eta(1-\eta)} e^{-i\phi}}{\cosh^3 r} \sum_{n=0}^{\infty} \tanh^{2n+1} r \sqrt{n+1} |n\rangle \langle n+1| + \frac{\sqrt{\eta(1-\eta)} e^{i\phi}}{\cosh^3 r} \sum_{n=0}^{\infty} \tanh^{2n+1} r \sqrt{n+1} |n+1\rangle \langle n|$$

۲۲

با کمک ماتریس ρ_{II} و انجام محاسبات تکمیلی نتایج زیر به‌دست می‌آیند:

$$\langle X \rangle_r = \sqrt{\eta(1-\eta)} \cos \phi \sinh r, \\ \langle X^2 \rangle_r = \frac{1}{4} [1 + 2(1-\eta) (\cosh^2 r - 1) + 2\eta (2 \cosh^2 r - 2)]$$

۲۳

از روابط بالا بهره می‌بریم تا پارامتر چلانندگی در ناحیه II را مورد بررسی قرار دهیم. در شکل ۷ منحنی S_x برحسب r و مقادیر مختلف η رسم شده است.

در شکل ۸ پارامتر S_x مربوط به حالت‌های $|\eta, 1\rangle$ و $|\eta, 2\rangle$ ($N=2$) برحسب η رسم شده است. در رسم منحنی مقادیر $\phi = \pi$ و $r=0.3$ در نظر گرفته شده است. همان‌طور که از شکل واضح است، در شرایط حرکت شتابدار با $r=0.3$ حالت کوآنتومی دوجمله‌ای $|\eta, 1\rangle$ دیگر حالتی چلانده نخواهد بود، اما حالت $|\eta, 2\rangle$ همچنان حالتی چلانده است و ناحیه چلانده آن گستره $0.2 < \eta < 0.5$ را در برمی‌گیرد.

پارامتر مندل حالت کوآنتومی دوجمله‌ای در

چارچوب‌های لخت و شتابدار

پارامتر مندل سنج‌های است که انحراف آمار یک حالت کوآنتومی را از آمار پواسونی اندازه می‌گیرد [۱۳]. میزان پارامتر مندل برای حالت همدوس که از آمار پواسونی تبعیت می‌کند، صفر است. در مقایسه با آن، اندازه این پارامتر برای حالت‌های کلاسیکی بزرگتر از صفر خواهد بود. از این رو، آمار حالت‌های کلاسیکی فراپواسونی است. در نهایت، چنانچه این سنج برای حالت‌های غیرکلاسیکی محاسبه شود مقداری منفی حاصل می‌شود که نشانگر زیرپواسونی بودن آمار این حالت‌ها است.

پارامتر مندل با رابطه زیر تعریف می‌شود:

$$Q = \frac{\langle n^2 \rangle - \langle n \rangle^2}{\langle n \rangle} - 1, \quad \langle n \rangle = \langle \hat{a}^\dagger \hat{a} \rangle \quad 27$$

چنانچه پارامتر مندل را برای حالت‌های کوآنتومی دوجمله‌ای با N ‌های مختلف محاسبه کنیم در همگی موارد نتیجه مقداری منفی خواهد شد که نشانگر آمار زیرپواسونی حالت دوجمله‌ای به‌ازای همه پارامترهای آن است.

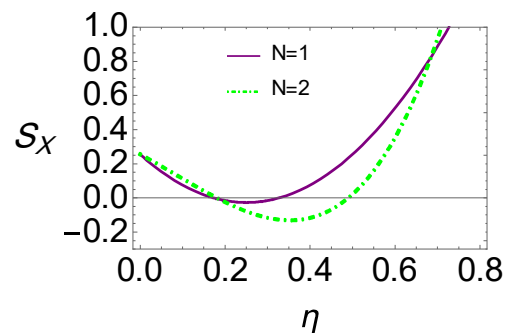
چنانچه بخواهیم از دید ناظر ناحیه I، سامانه را مورد مطالعه قرار دهیم باید ماتریس چگالی کاهش‌یافته را با ردگیری روی ناحیه II به صورت زیر به دست آوریم:

$$\begin{aligned} \rho_I = \text{Tr}_{II}(\rho) = & \frac{(1-\eta)^2}{\cosh^2 r} \sum_{n=0}^{\infty} \tanh^{2n} r |n\rangle \langle n| \\ & + \frac{(1-\eta)\sqrt{2\eta(1-\eta)} e^{-i\phi}}{\cosh^3 r} \sum_{n=0}^{\infty} \tanh^{2n} r \sqrt{n+1} \\ & \times [e^{-i\phi} |n\rangle \langle n+1| + \text{H.C.}] \\ & + \frac{\eta(1-\eta)}{\sqrt{2} \cosh^4 r} \sum_{n=0}^{\infty} \tanh^{2n} r \sqrt{n+1} \sqrt{n+2} \\ & \times [e^{-2i\phi} |n\rangle \langle n+2| + \text{H.C.}] \\ & + \frac{2\eta(1-\eta)}{\cosh^4 r} \sum_{n=0}^{\infty} \tanh^{2n} r (n+1) |n+1\rangle \langle n+1| \\ & + \frac{\eta\sqrt{\eta(1-\eta)}}{\cosh^5 r} \sum_{n=0}^{\infty} \tanh^{2n} r (n+1) \sqrt{n+2} \\ & \times [e^{-i\phi} |n+1\rangle \langle n+2| + \text{H.C.}] \\ & + \frac{\eta^2}{2 \cosh^6 r} \sum_{n=0}^{\infty} \tanh^{2n} r (n+1)(n+2) |n+2\rangle \langle n+2| \end{aligned}$$

۲۵

نتایج اندازه‌گیری از دید ناظر I عبارت است از:

$$\begin{aligned} \langle X \rangle_r = & \sqrt{\eta(1-\eta)} (\sqrt{2}(1-\eta) + 2\eta) \cosh r \cos \phi \\ \langle X^2 \rangle_r = & \frac{1}{4} [1 + 2\sqrt{2} \eta(1-\eta) \cosh^2 r \\ & + 2(1-\eta)^2 (\cosh^2 r - 1) + 4\eta(1-\eta) (2 \cosh^2 r - 1) \\ & + 2\eta^2 (3 \cosh^2 r - 1)] \end{aligned} \quad 26$$



شکل ۸ منحنی S_x برحسب η به‌ازای $\phi = \pi$ و $r=0.3$ برای حالت‌های کوآنتومی دوجمله‌ای $|\eta, 1\rangle$ ($N=1$) (منحنی توپر بنفش) و $|\eta, 2\rangle$ ($N=2$) (منحنی خط-نقطه سبز).

سنجه فوگل

یکی از سنجه‌هایی که برای تشخیص غیرکلاسیکی بودن حالت کوآنتومی به کار گرفته می‌شود، سنجه فوگل است. این سنجه معیاری کلی است و شرط کافی برای غیرکلاسیکی بودن را در اختیار ما قرار می‌دهد. سنجه فوگل مجموعه‌ای از دترمینان‌ها با ابعاد مختلف است که به شکل زیر تعریف می‌شود:

$$d_{vN} = \begin{vmatrix} 1 & \langle \hat{a} \rangle & \langle \hat{a}^\dagger \rangle & \langle \hat{a}^2 \rangle & \dots \\ \langle \hat{a}^\dagger \rangle & \langle \hat{a}^\dagger \hat{a} \rangle & \langle \hat{a}^{\dagger 2} \rangle & \langle \hat{a}^\dagger \hat{a}^2 \rangle & \dots \\ \langle \hat{a} \rangle & \langle \hat{a}^2 \rangle & \langle \hat{a}^\dagger \hat{a} \rangle & \langle \hat{a}^3 \rangle & \dots \\ \langle \hat{a}^{\dagger 2} \rangle & \langle \hat{a}^{\dagger 2} \hat{a} \rangle & \langle \hat{a}^{\dagger 3} \rangle & \langle \hat{a}^{\dagger 2} \hat{a}^2 \rangle & \dots \\ \vdots & \vdots & \vdots & \vdots & \ddots \end{vmatrix}_{N \times N} \quad (29)$$

که در آن N از ۳ آغاز می‌شود.

چنانچه برای یک حالت کوآنتومی مقدار یکی از این دترمینان‌ها کوچکتر از صفر شود نشانگر غیرکلاسیکی بودن آن حالت کوآنتومی خواهد بود.

در این قسمت دترمینان d_{v3} را برای حالت کوآنتومی دو جمله‌ای محاسبه می‌کنیم. در ابتدا فرض می‌کنیم سامانه در شرایط سکون قرار دارد. نتایج محاسبات عبارت است از:

$$d_{v3} = \begin{vmatrix} 1 & A_i & A_i^* \\ A_i^* & C_i & B_i^* \\ A_i & B_i & C_i \end{vmatrix}, \quad i = 1, 2$$

$$A_1 = \sqrt{\eta(1-\eta)} e^{i\phi}$$

$$A_2 = \sqrt{\eta(1-\eta)} [\sqrt{2}(1-\eta) + 2\eta] e^{i\phi}$$

$$B_1 = 0$$

$$B_2 = (1-\eta)\sqrt{2\eta} e^{2i\phi}$$

$$C_1 = \eta, \quad C_2 = 2\eta \quad (30)$$

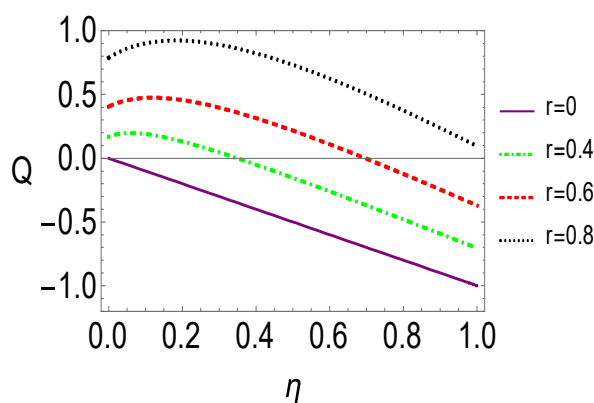
در این رابطه مقادیر با اندیس $i=1,2$ به ترتیب مربوط به حالت‌های $|\eta, 1\rangle$ و $|\eta, 2\rangle$ است.

برای بررسی تأثیر حرکت سامانه بر آمار حالت دو جمله‌ای، ماتریس چگالی کاهش یافته ۲۰ را در نظر می‌گیریم و با بهره‌گیری از آن پارامتر مندل را محاسبه می‌کنیم. نتایج محاسبه به صورت زیر حاصل می‌شود:

$$\langle n \rangle_r = (1-\eta) (\cosh^2 r - 1) + \eta (2 \cosh^2 r - 1),$$

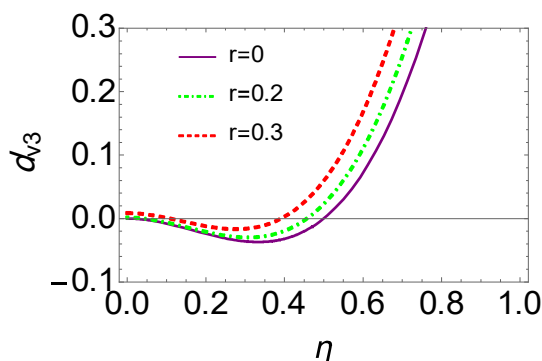
$$\langle n^2 \rangle_r = (1-\eta) (2 \cosh^4 r - 3 \cosh^2 r + 1) + \eta (6 \cosh^4 r - 6 \cosh^2 r + 1) \quad (28)$$

در شکل ۹ پارامتر مندل برای حالت کوآنتومی دو جمله‌ای $|\eta, 1\rangle$ در حرکت شتابدار رسم شده است. همان‌طور که از شکل پیداست، با افزایش پارامتر شتاب، یعنی r ، پارامتر مندل به مقادیر مثبت نزدیک می‌شود. با افزایش r ، این ناحیه افزایش می‌یابد تا جایی که در حوالی $r=0.8$ حالت دو جمله‌ای به طور کامل حالتی با آمار فراپواسونی می‌گردد. در شکل ۹، حالت بدون شتاب یعنی $r=0$ نیز نشان داده شده است.



شکل ۹. منحنی تغییرات پارامتر مندل بر حسب η و مقادیر مختلف r برای حالت کوآنتومی دو جمله‌ای $|\eta, 1\rangle$ در حرکت شتابدار در ناحیه I. منحنی توپر (بنفش) به ازای $r=0$ ، منحنی خط-نقطه (سبز) به ازای $r=0.4$ ، منحنی خط‌چین (قرمز) به ازای $r=0.6$ و منحنی نقطه‌چین به ازای $r=0.8$ رسم شده است.

نتایج محاسبات تکمیلی از دید ناظر II نشان می‌دهد که به ازای تمامی مقادیر پارامتر r سامانه دارای آمار فراپواسونی است.



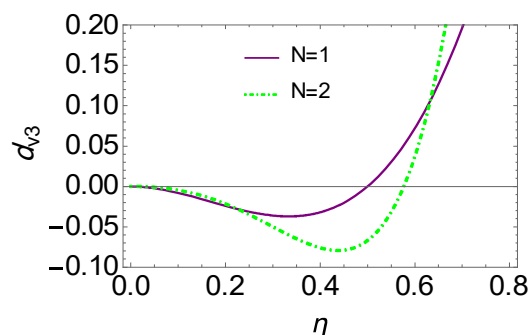
شکل ۱۰. منحنی d_{v3} برحسب η و مقادیر مختلف r برای حالت کوآنتومی دو جمله‌ای $|\eta, 1\rangle$ از دید ناظر ناحیه I در حرکت شتابدار. منحنی توپر (بنفش) به‌ازای $r = 0$ ، منحنی خط-نقطه (سبز) به‌ازای $r=0.2$ ، منحنی خط‌چین (قرمز) به‌ازای $r=0.3$ رسم شده است.

در شکل ۱۱ نمودار d_{v3} برحسب η و مقادیر مختلف r رسم شده است. با توجه به شکل درمی‌یابیم که به‌ازای مقادیر کوچک پارامتر r ، حالت کوآنتومی دو جمله‌ای همچنان حالتی غیرکلاسیکی است. با افزایش r از عمق و گستره ناحیه غیرکلاسیکی کاسته می‌شود.

نتیجه‌گیری

در این مقاله، ویژگی‌های غیرکلاسیکی حالت کوآنتومی دو جمله‌ای از دید ناظر لخت و شتابدار مورد بررسی قرار گرفته است. حالت کوآنتومی دو جمله‌ای از برهمه‌نی حالت‌های عددی با ضرایب بسط دو جمله‌ای به‌دست می‌آید و دارای ویژگی‌های غیرکلاسیکی مختلفی از جمله چلانگی و آمار زیرپواسونی است. از جمله مواردی که در محاسبات کوآنتومی همیشه مورد توجه بوده است، انتخاب حالتی است که قابلیت دسترسی و تولید و پردازش آن نسبتاً آسان باشد. این امر به‌ویژه در محاسبات کوآنتومی که در مقیاس‌های بزرگ و در فضا انجام می‌شود حائز اهمیت است [۳۴، ۳۵]. حالت کوآنتومی دو جمله‌ای انتخاب مناسبی است به‌لحاظ اینکه بین حالت همدوس و حالت عددی که کاملاً غیر کلاسیکی است قرار دارد. به‌همین لحاظ

در شکل ۱۰ نمودار d_{v3} برحسب η و مقادیر مختلف N رسم شده است. در شکل نمایان است که حالت کوآنتومی دو جمله‌ای حالتی غیرکلاسیکی است. افزون بر این قابل مشاهده است که با افزایش N عمق و گستره ناحیه غیرکلاسیکی افزایش می‌یابد.



شکل ۱۱. منحنی d_{v3} برحسب η و مقادیر مختلف N برای حالت کوآنتومی دو جمله‌ای در حرکت بدون شتاب. حالت‌های کوآنتومی دو جمله‌ای $|\eta, 1\rangle$ ($N=1$) (منحنی توپر (بنفش)) و $|\eta, 2\rangle$ ($N=2$) (منحنی خط-نقطه (سبز)).

اکنون برای بررسی میزان سنجه فوگل در شرایط حرکت شتابدار، d_{v3} را از دید ناظر شتابدار ناحیه I محاسبه می‌کنیم. برای محاسبه مقادیر چشمداشتی از ماتریس چگالی کاهش یافته ۲۰ بهره می‌بریم:

$$d_{v3} = \begin{vmatrix} 1 & A_1 & A_1^* \\ A_1^* & C_1 & B_1^* \\ A_1 & B_1 & C_1 \end{vmatrix},$$

$$A_1 = \sqrt{\eta(1-\eta)} \cosh r e^{i\phi}$$

$$B_1 = 0$$

$$C_1 = (1-\eta) (\cosh^2 r - 1)$$

$$+ \eta (2 \cosh^2 r - 1)$$

۳۱

نظر بگیریم، با افزایش r از عمق و گستردگی ناحیه غیرکلاسیکی کاسته می‌شود و به‌ازای مقادیر بزرگ r حالت دوجمله‌ای دیگر حالتی غیرکلاسیکی نخواهد بود.

مرجع‌ها

[1] S. Pirandola, et al., Advances in quantum cryptography, *Advances in Optics and Photonics* 12 (2020) 1012-1236. <https://doi.org/10.1364/AOP.361502>

[2] L. Calderaro, et al., Towards quantum communication from global navigation satellite system, *Quantum Science and Technology* 4 (2018) 015012. <https://doi.org/10.1088/2058-9565/aaefd4>

[3] P.M. Alsing, I. Fuentes, Observer-dependent entanglement, *Classical and Quantum Gravity* 29 (2012) 224001. <https://doi.org/10.1088/0264-9381/29/22/224001>

[4] S. Aggarwal, B. Mukhopadhyay, G. Gregori, Relativistic Landau quantization in non-uniform magnetic field and its applications to white dwarfs and quantum information, *SciPost Physics* 11 (2021) 093. <https://doi.org/10.21468/SciPostPhys.11.5.093>

[5] S.H. Wu, H.S. Zeng, T. Liu, Quantum correlation between a qubit and a relativistic boson in an expanding spacetime, *Classical and Quantum Gravity* 39 (2022) 135016. <https://doi.org/10.1088/1361-6382/ac7508>

[6] X. Liu, J. Jing, Z. Tian, W. Yao, Does relativistic motion always degrade quantum Fisher information?, *Physical Review D* 103 (2021) 125025. <https://doi.org/10.1103/PhysRevD.103.125025>

[7] X. Huang, J. Feng, Y.Z. Zhang, H. Fan, Quantum estimation in an expanding spacetime, *Annals of Physics* 397 (2018)

ویژگی‌های غیر کلاسیکی آن در این مقاله تحت اثر اونرا بررسی شده است.

نتایج نشان می‌دهد حالت کوآنتومی دوجمله‌ای در شرایط سکون در اندازه‌گیری عملگرهای X و Y چلانندگی دارد و عمق و گستره ناحیه چلاننده با افزایش N زیاد می‌شود. چنانچه حالت کوآنتومی دوجمله‌ای در سامانه‌ای با حرکت شتابدار قرار بگیرد، از دید ناظر متحرک در ناحیه I، با افزایش پارامتر r از عمق و گستره چلانندگی کاسته می‌شود و برای مقادیر بزرگ r حالت دوجمله‌ای دیگر حالتی چلاننده نخواهد بود. این موضوع با نتایج [۳۶] که برای حالت هیبریدی به‌دست آمده است مطابقت دارد. قابل توجه است که از دید ناظر متحرک در ناحیه II با افزایش پارامتر r بر میزان چلانندگی افزوده می‌گردد. در نهایت، از دید ناظر متحرک در ناحیه II نیز به‌ازای مقادیر بزرگ پارامتر r اثرات چلانندگی از بین می‌رود.

در ادامه، آمار فوتونی حالت کوآنتومی دوجمله‌ای با بهره‌گیری از پارامتر مندل مورد بررسی قرار گرفته است. با توجه به نتایج، حالت کوآنتومی دوجمله‌ای در سامانه ساکن به‌ازای تمامی مقادیر η حالتی با آمار زیرپواسونی است. در سامانه شتابدار، از دید ناظر متحرک در ناحیه I، با افزایش r پارامتر مندل از سمت η های کوچک به سمت مقادیر مثبت میل می‌کند که نشان‌دهنده آمار فراپواسونی است.

در نهایت، تغییر رفتار سنجه فوگل در شرایط سکون و حرکت شتابدار مورد مطالعه قرار گرفته است. مقادیر منفی این سنجه شرط کافی برای غیرکلاسیکی بودن یک حالت کوآنتومی است. با توجه به نتایج حاصل، حالت کوآنتومی دوجمله‌ای در شرایط سکون حالتی غیرکلاسیکی است و با افزایش N بر عمق و گستره ناحیه غیرکلاسیکی آن افزوده می‌گردد. حال اگر حالت کوآنتومی دوجمله‌ای را در شرایط حرکت شتابدار در

- advances and current perspectives, *Journal of Physics A: Mathematical and Theoretical* 40 (2007) 7821.
<https://doi.org/10.1088/1751-8113/40/28/S01>
- [15] G. Adesso, S. Ragy, D. Girolami, Continuous variable methods in relativistic quantum information: characterization of quantum and classical correlations of scalar field modes in noninertial frames, *Classical and Quantum Gravity* 29 (2012) 224002.
<https://doi.org/10.1088/0264-9381/29/22/224002>
- [16] D. Stoler, Equivalence classes of minimum uncertainty packets, *Physical Review D* 1 (1970) 3217.
<https://doi.org/10.1103/PhysRevD.1.3217>
- [17] R.E. Slusher, L.W. Hollberg, B. Yurke, J.C. Mertz, J.F. Valley, Observation of squeezed states generated by four-wave mixing in an optical cavity, *Physical Review Letters* 55 (1985) 2409.
<https://doi.org/10.1103/PhysRevLett.55.2409>
- [18] M.E. Farzan, M.J. Faghihi, G. Honarasa, Properties of excited squeezed Kerr states, *Journal of Research on Many-body Systems* 11 (2021) 98-109. [In Persian]
<https://doi.org/10.22055/JRMBS.2021.16987>
- [19] F. Acernese, et al., Increasing the astrophysical reach of the advanced Virgo detector via the application of squeezed vacuum states of light, *Physical Review Letters* 123 (2019) 231108.
<https://doi.org/10.1103/PhysRevLett.123.231108>
- [20] A.M. Branczyk, T.C. Ralph, Teleportation using squeezed single photons, *Physical Review A* 78 (2008) 052304.
<https://doi.org/10.1103/PhysRevA.78.052304>
- 336-350.
<https://doi.org/10.1016/j.aop.2018.08.021>
- [8] G. Samuels, D. Dutta, P. Nikam Mahon, The Importance of Bell States in Quantum Computing, 16th International Conference on Information Technology-New Generations (ITNG), *Advances in Intelligent Systems and Computing*, Springer, 2019, 581-585.
https://doi.org/10.1007/978-3-030-14070-0_82
- [9] D.E. Bruschi, I. Fuentes-Schuller, J. Louko, Voyage to alpha centauri: entanglement degradation of cavity modes due to motion, *Physical Review D* 85 (2012) 061701.
<https://doi.org/10.1103/PhysRevD.85.061701>
- [10] R.B. Mann, V.M. Villalba, Speeding up entanglement degradation, *Physical Review A* 80 (2009) 022305.
<http://doi.org/10.1103/PhysRevA.80.022305>
- [11] F. Ahmadi, S.R. Miry, Entanglement of hybrid state by a constant electric field, *Quantum Information Processing* 20 (2021) 301.
<https://doi.org/10.1007/s11128-021-03224-8>
- [12] K. Nemoto, W.J. Munro, Nearly deterministic linear optical controlled-NOT gate, *Physical Review Letters* 93 (2004) 250502.
<https://doi.org/10.1103/PhysRevLett.93.250502>
- [13] R. Pakniat, M.K. Tavassoly, M.H. Zandi, Entanglement swapping and teleportation based on cavity QED method using the nonlinear atom-field interaction: Cavities with a hybrid of coherent and number states, *Optics Communications* 382 (2017) 381-385.
<https://doi.org/10.1016/j.optcom.2016.08.021>
- [14] G. Adesso, F. Illuminate, Entanglement in continuous-variable systems: recent

[https://doi.org/10.1016/S0375-9601\(97\)00899-2](https://doi.org/10.1016/S0375-9601(97)00899-2)

[29] R. Lo Franco, G. Compagno, A. Messina, A. Napoli, Quantum computation with generalized binomial states in cavity quantum electrodynamics, *International Journal of Quantum Information* 7 (2009) 155–162.

<https://doi.org/10.1142/S0219749909004803>

[30] M.E. Peskin, *An Introduction to Quantum Field Theory*, CRC Press, 2018.
<https://doi.org/10.1201/9780429503559>

[31] S. Winitzki, *Lecture notes on Elementary Introduction to Quantum Fields in Curved Spacetime*, Heidelberg, 2006.

[32] N.D. Birrell, P.C.W. Davies, *Quantum Fields in Curved Space*, Cambridge University Press, 1982.
<https://doi.org/10.1017/CBO9780511622632>

[33] I. Fuentes, *Lecture series on relativistic quantum information*, In *Diversities in quantum Computation and quantum Information*, World Scientific (2013) 107–147. [10.1142/9789814425988_0004](https://doi.org/10.1142/9789814425988_0004)

[34] T.C. Ralph, G.J. Milburn, T. Downes, Quantum connectivity of space-time and gravitationally induced decorrelation of entanglement, *Physical Review A* 79 (2009) 022121.
<https://doi.org/10.1103/PhysRevA.79.022121>

[35] J.S. Sidhu, et al., Advances in space quantum communications, *IET Quantum Communication* 2 (2021) 182–217. <https://doi.org/10.1049/qtc2.12015>

[36] S.R. Miry, F. Ahmadi, Entanglement, QFI and squeezing of hybrid state in non-inertial frame, *Journal of Interfaces, Thin films, and Low dimensional systems* 5 (2022) 525–535.
[10.22051/JITL.2023.42294.1079](https://doi.org/10.22051/JITL.2023.42294.1079)

[21] L. Bai, L. Zhang, Y. Yang, R. Chang, Y. Qin, J. He, X. Wen, J. Wang, Enhancement of spin noise spectroscopy of rubidium atomic ensemble by using the polarization squeezed light, *Optics Express* 30 (2022) 1925–1935.
<https://doi.org/10.1364/OE.448084>

[22] L. Mandel, Sub-Poissonian photon statistics in resonance fluorescence, *Optics Letters* 4 (1979) 205–207.
<https://doi.org/10.1364/OL.4.000205>

[23] A. Dehghani, B. Mojaveri, A.A. Alenabi, Photon Added Qutrit Like Entangled Coherent States of Light, *Journal of Research on Many-body Systems* 11 (2021) 37–50. [In Persian]
[10.22055/JRMBS.2021.17268](https://doi.org/10.22055/JRMBS.2021.17268)

[24] E.V. Shchukin, W. Vogel, Nonclassical moments and their measurement, *Physical Review A* 72 (2005) 043808.
<https://doi.org/10.1103/PhysRevA.72.043808>

[25] D. Stoler, B.E.A. Saleh, M.C. Teich, Binomial states of the quantized radiation field, *Optica Acta* 32 (1985) 345–355.
<https://doi.org/10.1080/713821735>

[26] G.S. Agarwal, Negative binomial states of the field-operator representation and production by state reduction in optical processes, *Physical Review A* 45 (1992) 1787.
<https://doi.org/10.1103/PhysRevA.45.1787>

[27] H.Y. Fan, N.L. Liu, New generalized binomial states of the quantized radiation field, *Physics Letters A* 264 (1999) 154–161.
[https://doi.org/10.1016/S0375-9601\(99\)00777-X](https://doi.org/10.1016/S0375-9601(99)00777-X)

[28] M.H.Y. Moussa and B. Baseia, Generation of the reciprocal-binomial state, *Physics Letters A* 238 (1998) 223–226.